



استفاده از روش نسبت گرادیان (Ratio) در تفسیر آنومالی‌های دوبعدی مغناطیسی دایک

کمال علمدار^{۱*} و مصطفی گلابی^۲

- ۱- استادیار، دانشکده معدن و متالورژی، دانشگاه یزد
۲- دانشجوی کارشناسی ارشد اکتشاف معدن، دانشکده معدن و متالورژی، دانشگاه یزد

دریافت مقاله: ۱۳۹۴/۰۷/۲۶؛ پذیرش مقاله: ۱۳۹۴/۱۱/۲۲

* نویسنده مسئول مکاتبات: kamal.alamdar@gmail.com

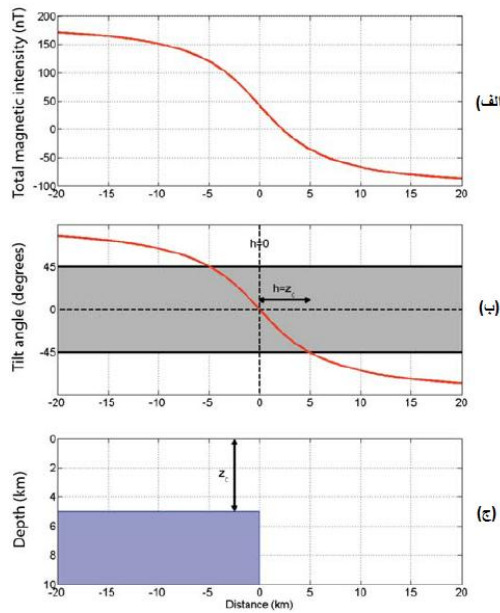
واژگان کلیدی

چکیده

برآورده عمق و موقعیت افقی توده‌های مغناطیسی (پارامترهای موقعیتی توده) در تفسیر داده‌های مغناطیس سنجی بسیار مهم است. در این زمینه روش‌های متعددی توسط نویسنده‌گان مختلف معرفی و مورد استفاده قرار گرفته است. اکثر این روش‌ها به نوع و هندسه مدل زیرسطحی مولد بی‌هنگاری وابسته هستند. بدین معنی که در رابطه تخمین عمق نهایی، پارامتری به نام شاخص ساختاری وجود دارد که بیانگر هندسه توده است و قبل از حل معادله باید مقدار آن جایگزین گردد در اکثر موارد اطلاع دقیقی از هندسه توده زیرسطحی در دسترس نیست و همین باعث بروز خطا در محاسبات خواهد شد. مدل دایک در اکتشاف معدن و زمین‌شناسی برای مدل‌سازی گسل و ساختارهای زمین‌شناسی که ضخامت آن‌ها در مقایسه با طولانی بیشتر است مورد استفاده قرار می‌گیرد. یکی از مهم‌ترین مزیت‌های این مدل این است که منحنی گرادیان افقی و قائم میدان مغناطیسی حاصل از آن، دقیقاً روی مرز و لبه‌های توده تغییر می‌کند. در این مقاله با استفاده از نسبت بین گرادیان افقی و قائم توده دایک، رابطه‌ای برای تخمین عمق و موقعیت افقی آن ارائه شده است. در این مقاله گرادیان افقی داده‌ها با استفاده از روش تفاضل محدود و مشتق قائم با استفاده از تبدیل هیلبرت محاسبه شده است. این روش روی داده‌های دایک مصنوعی در حالت‌های مختلف و همچنین داده‌های مغناطیس واقعی محدوده‌ای در شهرستان سیرجان به کار برده شده است. نتایج حاصل از این روش با استفاده از گمانه‌های حفاری موجود در محدوده اعتبارسنجی شده است.

عمق
مدل وابسته
اکتشاف معدن
گسل
دایک
نسبت گرادیان

۱- مقدمه



شکل ۱: نمایش فاصله افقی و عمق تا توده کنتاکت. (الف) نمودار پاسخ مغناطیسی کنتاکت. (ب) نمودار زاویه تیلت داده‌های قسمت الف. (ج) مقطع دوبعدی توده کنتاکت.

۲- توسعه روش برای کاربرد روى داده‌های مغناطیسی

سنجدایک

هدف از این تحقیق تعمیم و توسعه روش تیلت- عمق است. تعمیم این روش از طریق کاربرد آن روی مدل‌های مغناطیسی سنجدایک و توسعه روابط حاکم با استفاده از نسبت گرادیان‌های قائم و افقی داده‌های میدان پتانسیل است. گرادیان‌های افقی و قائم از پرکاربردترین فیلترها در زمینه پردازش و تفسیر کمی داده‌های مغناطیسی سنجدایک محسوب می‌شوند. مزیت اصلی این دو فیلتر تغییر علامت و مقدار آن‌ها در لبه‌ها و مرزهای توده سبب شونده است. با این وجود برجستگی نویز در مشتق قائم سبب محدود شدن کارایی آن می‌شود که استفاده از فیلترهای ادامه فراسو و پایین گذر می‌تواند این مشکل برطرف نماید. البته محاسبه مشتق قائم با استفاده از تبدیل هیلبرت مشتق افقی که در این مقاله از آن استفاده می‌شود جزء تکنیک‌های محاسباتی است که با استفاده از آن می‌توان پایداری خروجی فیلتر قائم را بهبود بخشید.

۲-۱- پاسخ مغناطیسی مدل دایک

آنومالی مغناطیسی کل ناشی از یک دایک با ضخامت کم از رابطه زیر نتیجه می‌شود (بک، ۱۹۸۱):

$$f = \frac{A(x \sin \beta - \Delta z \cos \beta)}{(\Delta x^2 + \Delta z^2)} \quad (3)$$

که در آن $i = \tan I = \tan i / \cos \alpha$ ، $\beta = 2I - \text{dip} - 90^\circ$ و $A = 2kFcw$ ، k خودپذیری زاویه میل بردار مغناطیسی زمین، F میدان پتانسیل و c میزان

روش‌های خودکار و نیمه‌خودکار به طور گسترده در تفسیر بی‌هنجری‌های میدان پتانسیل مورد استفاده قرار می‌گیرند. در این زمینه روش‌هایی چون ورنر دیکانولوشن (هارتمن و همکاران، ۱۹۷۱)، (Source Location Using Total Homogeneity) SLUTH (تورستون و اسمیت، ۲۰۰۷) و روش‌های تبدیل موجک (سایلهک و گیبرت، ۲۰۰۳) را می‌توان نام برد. روش اویلر دیکانولوشن (تامسون، ۱۹۸۲؛ رئید و همکاران، ۱۹۹۰) نیز از روش‌های خودکار به شمار می‌آید که در حال حاضر کاربرد گسترده‌تری دارد. سالم و همکاران (۲۰۰۷) روش عمق- تیلت (Depth-Tilt) را برای تفسیر بی‌هنجری‌های مغناطیسی ناشی از کنتاکت معرفی کردند. میلر و سینگ (۱۹۹۴) زاویه تیلت را به عنوان روشی برای تفسیر داده‌های میدان پتانسیل توسعه دادند. زاویه تیلت، T مربوط به میدان پتانسیل f از رابطه زیر نتیجه می‌شود:

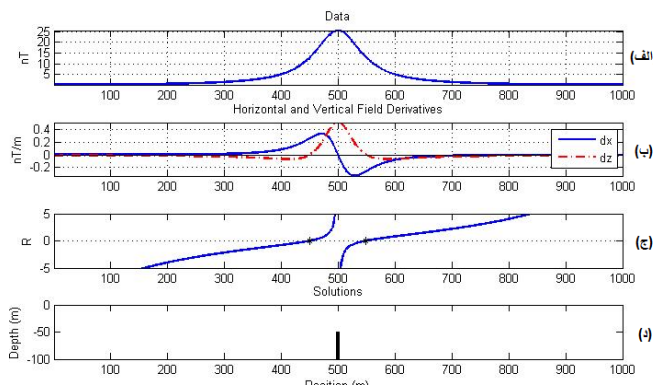
$$T = \tan^{-1} \left(\frac{\partial f / \partial z}{\sqrt{(\partial f / \partial x)^2 + (\partial f / \partial y)^2}} \right) \quad (1)$$

در مورد توده کنتاکت با فرض اینکه شب توده و همچنین شب مغناطیس شدگی آن قائم است، با جایگذاری روابط مربوط به گرادیان‌های افقی و قائم مربوط به آن در رابطه زاویه تیلت به رابطه نهایی زیر خواهیم رسید:

$$T = \tan^{-1} \left(\frac{h}{z_c} \right) \quad (2)$$

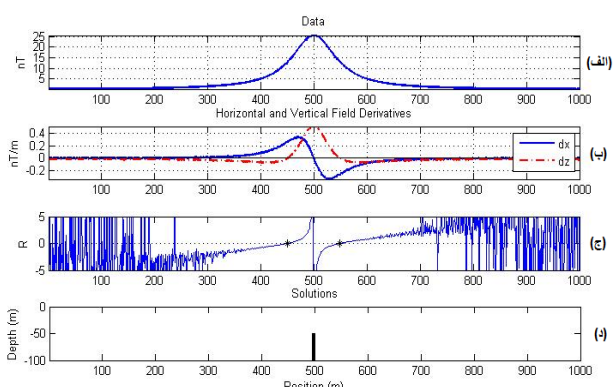
که در آن h و z_c به ترتیب فاصله افقی و عمق تا توده کنتاکت است. پارامترهای h و z_c در شکل ۱ ارائه شده است. شکل ۱، الف نمودار پاسخ مغناطیسی کنتاکت و شکل ۱، ب نمودار زاویه تیلت داده‌های قسمت الف را نشان می‌دهد. مقادیر زاویه تیلت بین $+90^\circ$ تا -90° درجه متغیر است. طبق این رابطه بالای لبه کنتاکت جایی که $h=0$ است مقدار زاویه نیلت صفر و در مواردی که زاویه تیلت $+45^\circ$ و -45° درجه است به ترتیب عمق توده برابر $h=z_c$ و $h=-z_c$ است. شکل ۱، ج مقطع دوبعدی توده کنتاکت مورد بحث را نشان می‌دهد.

سالم و همکاران (۲۰۰۷) نشان دادند که عمق تا بالای توده کنتاکت می‌تواند از طریق اندازه‌گیری نصف فاصله افقی بین خط کنتور زاویه تیلت با ارزش $45^\circ \pm$ درجه تعیین شود. در مواردی که مغناطیس شدگی کنتاکت قائم نیست می‌توان از تکیک تبدیل به قطب استفاده کرد (فرهد و همکاران، ۲۰۰۸a، ۲۰۰۸b؛ فرهد و ولیامز، ۲۰۰۶). بعداً این روش روی داده‌های گرانی‌سنجدایک در حالت دو سه‌بعدی توسعه داده شد (کوپر، ۲۰۱۰ و ۲۰۱۱). همچنین روش تیلت- عمق توسعه یافته که از کمیت عدد موج داده‌ها استفاده می‌کند نیز توسط سالم و همکاران (۲۰۱۰) ارائه شده است.



شکل ۲: تخمین عمق دایک توسط روش نسبت مشتقات (R). (الف) منحنی پاسخ مغناطیسی دایک در عمق ۵۰ متر. ب) نمودار مشتق داده‌ها در جهت قائم و افقی. ج) نمودار نسبت مشتقات قائم به افقی که از رابطه (۶) به دست می‌آید. د) تخمین عمق دایک مدل‌سازی شده با استفاده از روش ارائه شده.

۲-۲- بررسی اثر نویز مصنوعی بر نتایج
مدل دوم دایک قائم در موقعیت افقی ۵۰۰ متر از ابتدای پروفیل و عمق ۵۰ متری نسبت به سطح زمین قرار دارد. زاویه میل و انحراف مغناطیسی میدان به ترتیب ۹۰ و ۰ درجه انتخاب شده است. داده‌ها توسط نویز مصنوعی با توزیع نرمال معادل ۱۰ درصد داده‌ها آغاز شدند. شکل ۳، الف منحنی پاسخ مغناطیسی دایک را نشان می‌دهد. در شکل ۳، ب منحنی‌های گرادیان افقی و قائم داده‌ها نشان داده شده است. در شکل ۳، ج منحنی تغییرات نسبت R ارائه شده است. شکل ۲، د نتایج تخمین عمق و موقعیت افقی را نشان می‌دهد.



شکل ۳: تخمین عمق دایک توسط روش نسبت مشتقات (R). (الف) نمودار مغناطیسی داده‌های مدل‌سازی شده اولیه در محیطی با ۱۰ درصد نویز. ب) نمودار مشتق قائم و افقی داده‌های نویزی قسمت الف. ج) نمودار نسبت مشتقات قائم به افقی (R) که از رابطه (۶) به دست می‌آید. د) تخمین عمق دایک مدل‌سازی شده با استفاده از روش ارائه شده.

همان‌طور که از شکل ۳ مشاهده می‌شود، پس از تخمین عمق با استفاده از روش ارائه شده، عمق دایک $\frac{49}{2}$ متر نسبت به سطح زمین و موقعیت افقی آن $\frac{499}{5}$ متر نسبت به ابتدای پروفیل برآورد

مغناطیسی، w عرض دایک، F شدت میدان مغناطیسی زمین $c = 1 - \cos^2 I \cdot \sin^2 \alpha$ زاویه بین جهت مثبت محور x و امتداد شمال است. مشتق افقی و قائم رابطه (۳) برابر است با:

$$\frac{\partial f}{\partial x} = \frac{A((z^2 - x^2)\sin\beta + 2xz\cos\beta)}{(x^2 + z^2)^2} \quad (4)$$

$$\frac{\partial f}{\partial z} = -\frac{A((x^2 - z^2)\cos\beta + 2xz\sin\beta)}{(x^2 + z^2)^2} \quad (5)$$

بنابراین نسبت بین مشتق‌ها از رابطه زیر نتیجه خواهد شد:

$$R = -\frac{((x^2 - z^2)\cos\beta + 2xz\sin\beta)}{((z^2 - x^2)\sin\beta + 2xz\cos\beta)} \quad (6)$$

در رابطه فوق اگر مغناطیسی شدگی و شیب توده قائم انتخاب شود، به ازای $x = \pm z$ مقدار $R = 0$ خواهد بود. اگر مقدار شیب ۴۵ درجه و یا ۱۳۵ درجه انتخاب شود آنگاه به ازای $x = \pm z$ مقدار R به ترتیب $+1$ و -1 می‌شود. به علاوه اینکه اگر مقدار پارامتر $\alpha = 90^\circ$ آنگاه به ازای هر مقدار زاویه میل بردار مغناطیسی و شیب قائم توده به ازای $x = \pm z$ مقدار $R = 0$ خواهد بود.

هدف از این مقاله کاربرد روش تخمین عمق با استفاده از نسبت مشتق‌ها (رابطه ۶) روی داده‌های مصنوعی مدل دایک و همچنین داده‌های واقعی مغناطیسی سنجی زمینی مربوط به معدن سنگ آهن خیرآباد در شهرستان سیرجان استان کرمان است. پاسخ مغناطیسی دایک توسط برنامه کامپیوتری تهیه شده در محیط متلب تولید شده است.

اولین مدل دایک قائمی در موقعیت ۵۰۰ متر از ابتدای پروفیل و عمق ۵۰ متری نسبت به سطح زمین است. شدت میدان مغناطیسی ۴۶۰۰۰ نانو تسلا و زاویه میل و انحراف آن به ترتیب ۹۰ و ۰ درجه انتخاب شده است. شکل ۲ کاربرد روش پیش گفته شده را روی داده‌های مصنوعی این مدل نشان می‌دهد. تخمین عمق دایک توسط روش نسبت مشتقات (R) و با استفاده از رابطه (۶) انجام می‌گیرد. در این رابطه تمامی پارامترها معلوم و فقط عمق توده مجهول است. شکل ۲، الف منحنی پاسخ مغناطیسی دایک را نشان می‌دهد. در شکل ۲، ب منحنی‌های گرادیان افقی و قائم داده‌ها نشان داده شده است. در شکل ۲، ج منحنی تغییرات نسبت R ارائه شده است. شکل ۲، د نتایج تخمین عمق و موقعیت افقی توده را نشان می‌دهد نتایج تخمین عمق و موقعیت دایک با استفاده از این روش به ترتیب $\frac{49}{7}$ و ۵۰۰ متر است. در نتیجه تعیین موقعیت افقی این مدل بدون خطای و تخمین عمق آن، دارای خطای در حدود ۰/۰۶٪ است.

تخمین عمق توده در این روش علاوه بر عواملی همچون زاویه میل و انحراف مغناطیسی میدان، به مقدار نویز موجود در منطقه هم‌بستگی دارد که در مدل‌هایی بعدی سعی شده است تاثیر این پارامتر بر روی تخمین عمق توده‌ها بررسی شود و مقدار خطای که این پارامتر ایجاد می‌کند، مورد بررسی قرار گیرد. البته در این روش چون از مشتق مرتبه اول داده‌ها استفاده می‌شود حساسیت آن به نویز حداقل است.

علمدار و گلابی، استفاده از روش نسبت گرادیان (Ratio) در تفسیر آنومالی‌های دوبعدی مغناطیسی دایک، صفحات ۵۹-۶۷

توده‌ها استفاده می‌کنند بر این فرض استوار هستند که زاویه میل مغناطیسی شدگی توده ۹۰ درجه است و یا اینکه از داده‌های تبدیل به قطب به عنوان ورودی روش‌ها استفاده خواهد شد. در این قسمت تأثیر زاویه میل بر نتایج تخمین عمق توده دایک بررسی می‌شود.

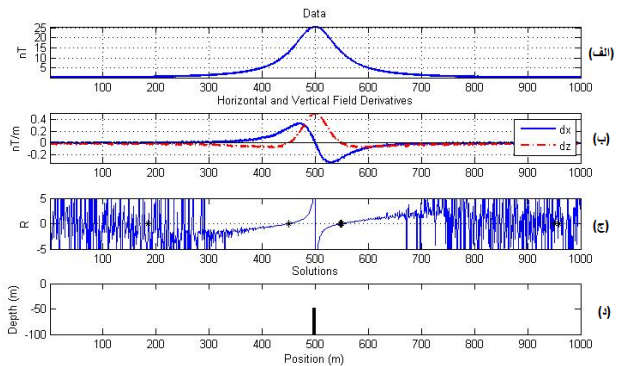
در شکل ۵ دو دایک قائم در عمق‌های ۲۵ و ۵۰ متری نسبت به سطح زمین و در موقعیت‌های ۳۰۰ و ۷۰۰ متری از ابتدای پروفیل قرار دارند. این دو توده به ترتیب با شماره‌های ۱ و ۲ مشخص شده‌اند. شدت میدان مغناطیسی القایی ۴۶۰۰۰ نانو تسلا و زاویه میل و انحراف آن به ترتیب ۹۰ و ۵ درجه انتخاب شده است. شکل ۵، الف، ب و ج از تغییرات نسبت R ارائه شده است. شکل ۵، د نتایج تخمین عمق و موقعیت افقی را نشان می‌دهد. در این مثال عمق و موقعیت افقی توده به ترتیب ۴۸/۲۷ و ۴۹۹ متر برآورد می‌گردد. در این حالت خطای تخمین عمق و موقعیت افقی توده به ترتیب برابر $3/4$ و $0/2$ درصد محاسبه شده است.

مشتق افقی محاسبه شده است. در شکل ۵، ج نمودار نسبت مشتق‌های قائم و افقی (کمیت R) آمده است. شکل ۵، د نتایج تخمین عمق توده‌های دایک با استفاده از روش ارائه شده را نشان می‌دهد. روش ارائه شده موقعیت افقی و عمق توده دایک ۱ را به ترتیب 300 و $24/4$ متر برآورد می‌کند که بدین ترتیب در مقایسه با ترتیب 300 و 25 میزان خطای روش در تخمین عمق مقادیر حقیقی (300 و 25) همچنین این روش موقعیت افقی و دایک $1/2\%$ تعیین می‌شود. همچنان این روش موقعیت افقی و عمق دایک ۲ را به ترتیب $46/38$ و $699/82$ متر برآورد می‌کند که در مقایسه با مقادیر حقیقی به کار رفته در مدل $(200$ و $50)$ مقدار خطای موقعیت افقی و عمق به ترتیب $0/01$ و $5/14$ است. چون دایک ۲ در عمق بیشتری نسبت به دایک ۱ قرار دارد خطای تخمین عمق و موقعیت افقی آن بیشتر است. درصد خطای ایجاد شده در تخمین عمق و موقعیت دایک‌ها در جدول ۲ آورده شده است.

در مثال بعد دو دایک مغناطیسی مثال قبل، با شیب 45 درجه در نظر گرفته شده و موقعیت افقی و عمق آن‌ها با استفاده از روش نسبت مشتق‌های قائم و افقی برآورد می‌گردد. در شکل ۶ دو دایک مغناطیسی دارای شیب 45 درجه و در عمق‌های 25 و 50 متری نسبت به سطح زمین و در موقعیت‌های 300 و 700 متری از ابتدای پروفیل قرار دارند که به ترتیب با شماره‌های ۱ و ۲ مشخص شده‌اند. بقیه پارامترها شبیه مدل مثال قبل در نظر گرفته شده است. شکل ۶، الف نمودار مغناطیسی داده‌های مدل سازی شده اولیه در محیطی با درصد نویز $0/6$ ، ب) نمودار مشتق داده‌ها در جهت قائم و افقی، ج) نمودار نسبت مشتقات قائم به افقی (R) که از رابطه (۶) به دست می‌آید. د) تخمین عمق دایک مدل سازی شده با استفاده از روش ارائه شده.

با توجه به پارامترهای اولیه مورد استفاده در تولید مدل، خطای این روش در تخمین عمق و موقعیت افقی توده به ترتیب $1/6$ و $0/1$ است.

شکل ۶ مربوط مدل دایک قائم در موقعیت اولیه 500 متر و عمق 50 متر نسبت به سطح زمین است که توسط نویز مصنوعی معادل 25 درصد داده‌ها آلوده شده است. شکل ۶، الف منحنی پاسخ مغناطیسی دایک را نشان می‌دهد. در شکل ۶، ب منحنی گرادیان افقی و قائم داده‌ها نشان داده شده است. در شکل ۶، ج منحنی تغییرات نسبت R ارائه شده است. شکل ۶، د نتایج تخمین عمق و موقعیت افقی را نشان می‌دهد. در این مثال عمق و موقعیت افقی توده به ترتیب $48/27$ و 499 متر برآورد می‌گردد. در این حالت خطای تخمین عمق و موقعیت افقی توده به ترتیب برابر $3/4$ و $0/2$ درصد محاسبه شده است.



شکل ۶: تخمین عمق دایک توسط روش نسبت مشتقات (R). الف) نمودار مغناطیسی داده‌های مدل سازی شده اولیه در محیطی با درصد نویز $0/6$. ب) نمودار مشتق داده‌ها در جهت قائم و افقی. ج) نمودار نسبت مشتقات قائم به افقی (R) که از رابطه (۶) به دست می‌آید. د) تخمین عمق دایک مدل سازی شده با استفاده از روش ارائه شده.

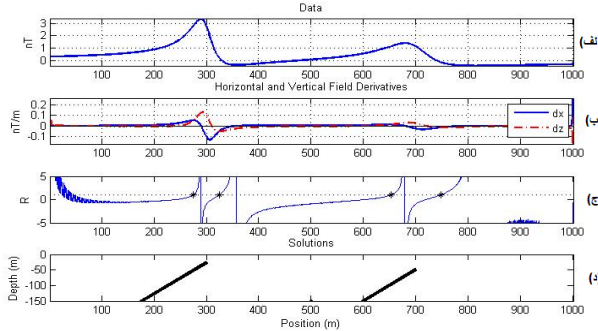
همان‌طور که انتظار می‌رفت با افزایش نویز مقدار خطای تخمین روش ارائه شده افزایش می‌یابد. در جدول ۱ نتایج خطای تخمین عمق و موقعیت افقی را به ازای سطح نویزهای مختلف ارائه می‌دهد.

جدول ۱: مقدار خطای ایجاد شده در داده‌های مغناطیسی آلوده به مقادیر مختلف نویز مصنوعی.

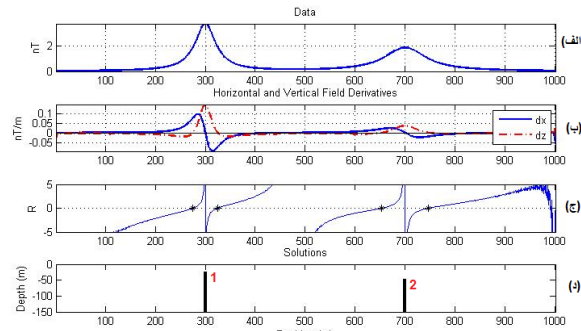
خطای عمق (%)	خطای موقعیت (%)	مقدار نویز (درصد داده‌ها)
.	.	$0/6$
۱۰	$0/1$	$1/6$
۲۵	$0/2$	$3/4$
۳۵	$0/4$	$4/6$

۳-۲- بررسی اثر تغییرات شیب و عمق دایک بر نتایج تخمین

یکی از پارامترهای مؤثر در شکل بی‌هنگاری‌های مغناطیسی زاویه میل بردار مغناطیسی القایی است. روش‌هایی که برای تخمین عمق



شکل ۶: تخمین عمق دو دایک توسط روش نسبت مشتقات (R).
الف) نمودار مغناطیسی داده‌های مدل سازی شده اولیه در محیطی بدون نویز. ب) نمودار مشتق داده‌ها در جهت قائم و افقی. ج) نمودار نسبت مشتقات قائم به افقی (R) که از رابطه (۶) به دست می‌آید. د) تخمین عمق دایک‌های مدل سازی شده با استفاده از روش ارائه شده.

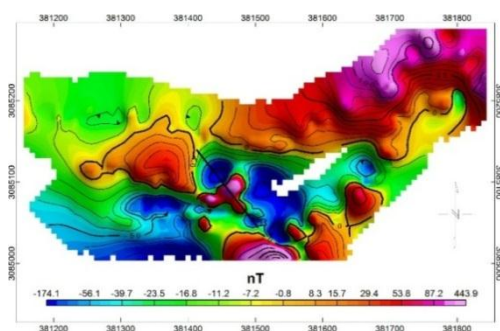


شکل ۵: تخمین عمق دو دایک توسط روش نسبت مشتقات (R).
الف) منحنی پاسخ مغناطیسی دو توده دایک در عمق‌های ۲۵ و ۴۰ متری. ب) نمودار مشتق داده‌ها در جهت قائم و افقی. ج) نمودار نسبت گرادیان‌های قائم به افقی (R) با استفاده از رابطه (۶). د) تخمین عمق دایک‌های مدل سازی شده با استفاده از روش ارائه شده.

جدول ۲: خطای ایجاد شده در تخمین عمق و موقعیت دایک‌ها در شیب‌های متفاوت.

شیب دایک	خطای عمق (%)				خطای موقعیت (%)
	دایک (۲) ۵۰ متری	دایک (۱) ۲۵ متری	دایک (۲) ۵۰ متری	دایک (۱) ۲۵ متری	
۹۰ درجه (قائم)	۱/۶۸	۶/۳۴	.	۰/۰۲	
۴۵ درجه	۰/۸۸	۵/۱۴	.	۰/۰۱	

همچنین توالی سنگ‌های کربناته (دولومیتی)، شیل و سنگ‌های آذرین (آنزیت) در مجاورت محدوده مورد بررسی به چشم می‌خورد. منطقه دارای گسل‌های زیادی است. کانی‌سازی آهن از نوع مگنتیت است که در برخی زون‌ها آغشته با همانیت است.
برداشت‌های مغناطیسی در این منطقه توسط دستگاه مغناطیسی‌سنگ پروتون و در ۱۶ پروفیل شمالی – جنوبی با فاصله متوسط ۲۵ متر انجام شده است. زاویه میل و انحراف بردار مغناطیسی زمین بر طبق مدل IGRF2013 به ترتیب برابر ۴۶ و ۳ درجه برآورد شده است. شکل ۷ نقشه مغناطیس زمینی تهیه شده از منطقه را نشان می‌دهد. به منظور تخمین عمق ماده معنده در این محدوده پروفیلی عمود بر روند دوقطبی مغناطیسی مشاهده شده انتخاب و توسط روش ارائه شده در این مقاله برآورد عمق انجام شد.



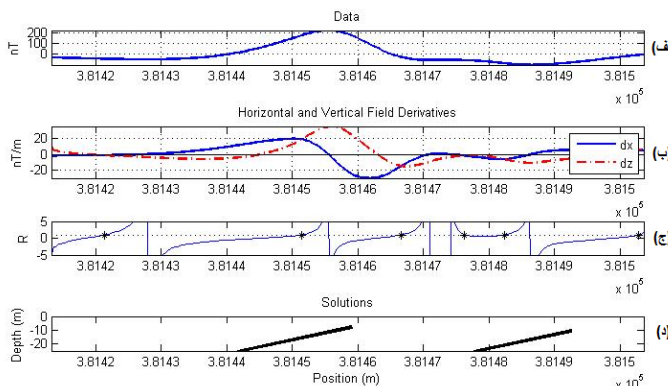
شکل ۷: نقشه مغناطیس زمینی تهیه شده از منطقه مورد بررسی در معدن سنگ آهن خیرآباد سیرجان.

با توجه به جدول ۲ مشاهده می‌شود که هنگامی که شیب دو توده از ۹۰ درجه به ۴۵ درجه تغییر می‌کند، مقدار خطای تخمین عمق کمتر می‌شود. دلیل این پدیده را می‌توان در ضخامت کم دایک در نظر گرفت. هنگامی که توده دایک قائم است سطح مؤثر دایک در تخمین حداقل است اما وقتی شیب دایک ۴۵ درجه انتخاب شود سطح مؤثر بیشتری از دایک در تخمین شرکت می‌کند و به همین جهت تخمین عمق با دقت بیشتری انجام می‌گیرد. با این وجود چون معادله تخمین نسبت به موقعیت افقی (پارامتر X) خطی است لذا شیب دایک تأثیر چندانی در تخمین موقعیت افقی دایک ندارد. با افزایش عمق دایک خطای تخطی تخمین عمق و تخمین موقعیت افقی افزایش می‌یابد.

۳- تخمین عمق بر روی داده‌های واقعی معدن سنگ آهن سیرجان

محدوده مورد مطالعه در نقشه زمین‌شناسی ۱:۲۵۰۰۰ نیز قرار گرفته است. برای دسترسی به محدوده مذکور از سیرجان به سمت خیرآباد رفته و پس از طی حدود ۸۰ کیلومتر به محدوده مورد نظر می‌رسیم. کانی‌سازی آهن مورد مطالعه از لحاظ زمین‌شناسی متعلق به زون سندج- سیرجان است. این محدوده بیشتر در زیر پوشش آبرفت قرار دارد؛ اما در قسمت‌هایی از منطقه سنگ‌های دگرگونی از نوع شیسته‌های سیلیسی شده و شیسته‌های سبز دیده می‌شود. سنگ‌های گرانودیبوریت و آندزیت نیز به طور محدود وجود دارد.

علمدار و گلابی، استفاده از روش نسبت گرادیان (Ratio) در تفسیر آنومالی‌های دوبعدی مغناطیسی دایک، صفحات ۵۹-۶۷



شکل ۸: تخمین عمق توده روی پروفیل AB از نقشه مغناطیس باقیمانده معدن سنگ آهن خیرآباد توسط روش نسبت گرادیان‌های (R). (الف) پروفیل مغناطیس سنجی در امتداد AB پس از تبدیل به قطب و ادامه فراسو در ارتفاع ۵ متر را نشان می‌دهد. ادامه لایه‌های پلاسربی آهن و همچنین واریزهای متعدد مغنتیت ادامه فراسوی داده‌ها را قبل از پردازش ضروری می‌سازد. شکل ۸، ب) گرادیان‌های افقی و قائم داده‌های سنجی در شکل ۸ نشان می‌دهد. در شکل ۸، ج) منحنی تغییرات کمیت R (نسبت مشتق قائم و افقی) آمده است. شکل ۸، د) نتایج تخمین قائم و افقی. (د) نتایج تخمین عمق و موقعیت افقی.

شکل ۸ کاربرد روش ارائه شده را روی پروفیل AB از نقشه مغناطیس منطقه نشان می‌دهد. شکل ۸، الف) پروفیل مغناطیس سنجی در امتداد AB پس از تبدیل به قطب و ادامه فراسو در ارتفاع ۵ متر را نشان می‌دهد. ادامه لایه‌های پلاسربی آهن و همچنین واریزهای متعدد مغنتیت ادامه فراسوی داده‌ها را قبل از پردازش ضروری می‌سازد. شکل ۸، ب) گرادیان‌های افقی و قائم داده‌های سنجی در شکل ۸ نشان می‌دهد. در شکل ۸، ج) منحنی تغییرات کمیت R (نسبت مشتق قائم و افقی) آمده است. شکل ۸، د) نتایج تخمین عمق و موقعیت افقی را نشان می‌دهد. به دلیل نویز طبیعی موجود در منطقه، تخمین‌ها می‌توانند با خطأ همراه باشد. نتایج این روش وجود دو توده دایک را در موقعیت افقی $x=381458$ و $y=3265200$ متر ارائه می‌کند. عمق متوسط توده توسط این روش ۱۴ متر است. در نقطه‌ای با مختصات $x=381458$ و $y=3265200$ حفاری مغذه گیری انجام شد که در عمق ۱۷/۵ متری به ماده معدنی برخورد کرد. لاغ حفاری مربوط به این گمانه در شکل ۹ آمده است.

KHEIR ABD IRON MINE										Start Date	20.02.2013														
Location	VERTICAL									Finish Date	20.02.2013														
Direction										Elevation	2032.14														
Drilling Contractor	KAVOSH PAJOUH YAZD, CO.									Coordinates (HQ)	x=381458-Y:3265200														
Logged By										(NQ)	115.77 m														
BH ID																									
SCALE	1:200																								
Depth (m)	Sample No	Elevation	Lithology	GEOLOGICAL DESCRIPTION	INTERVAL (m)	CORE RECOVERY	RQD	COMPONENTS (%)																	
					FROM	TO	TOTAL (m)	(m)	(%)	Fe	FeO	P	S	SiO ₂	CaO	Mn	Al ₂ O ₃	TiO ₂	Fe/FeO	Core Recovery %	RQD %				
								(m)	(%)											25	75	25	75		
0				Skarned	0.00	2.95	2.95	0.60	20.34	0.15	5.08	59.81	17.15								3.49				
1					2.95	4.24	1.29	1.20	93.02	0.43	33.33	34.98	10.37	0.40	0.07	28.39						3.37			
2				Skarned	4.24	5.34	1.10	0.80	72.73	0.00	0.00	4.20	4.00									1.05			
3					5.34	8.08	2.74	1.40	51.09	0.00	0.00														
4				Skarned	8.08	10.80	2.72	2.40	88.24	0.15	5.51														
5					10.80	13.58	2.78	2.10	75.54	0.00	0.00														
6				Skarned	13.58	16.30	2.72	2.40	88.24	1.47	54.04														
7					16.30	19.90	3.60	3.00	83.33	0.41	11.39														
8				Low grade iron ore with low sulfide	19.90	21.72	1.82	1.80	98.90	0.64	35.16	38.13	16.58										2.30		
9					21.72	24.40	2.68	2.50	93.28	0.97	36.19	32.82	13.64	0.79	0.13	23.61						2.41			
10				Low grade iron ore (magnetite) with low sulfide (pyrite) with epidotized host rock particles of host rock																					

شکل ۹: لاغ حفاری گمانه اکتشافی معدن سنگ آهن خیرآباد سیرجان.

۴- نتیجه‌گیری

- dr این مقاله برای تخمین عمق و موقعیت افقی توده‌های زیرسطحی از نسبت بین مشتق قائم و افقی داده‌های مغناطیس سنجی استفاده شد. منبع معادل مورد استفاده مدل دایک با ضخامت کم است. چون روش مذکور از مشتق داده‌ها استفاده می‌کند نتایج آن به نویز حساس است. در نتیجه هر چقدر نویز محیط بیشتر باشد خطای تخمین عمق و موقعیت آن افزایش می‌یابد. برای بهبود کارایی مدل هنگام مواجه با نویزهای مصنوعی می‌توان از روش ادامه فراسو و یا ترکیب فیلترهای پایین گذر و ادامه فراسو استفاده کرد. همچنین خطای تخمین عمق و موقعیت توده به شبیب و عمق قرارگیری آن نیز وابسته است. این روش بر روی داده‌های مغناطیس زمینی معدن سنگآهن سیرجان به طور موفقیت‌آمیز اعمال شد و نتایج آن با حفاری مغزه گیری تأیید شد. عمق متوسط توده توسط این روش ۱۴ متر است. در نقطه‌ای با مختصات $x=381458$ و $y=3265200$ حفاری مغزه گیری انجام شد که در عمق $17/5$ متری به ماده معدنی برخورد کرد. لایحه حفاری مربوط به این گمانه در مقاله موجود است.
- #### ۵- منابع
- Cooper, G.R.J., 2012, The semi-automatic interpretation of magnetic dyke anomalies, *Computers & Geosciences* 44, 95-99.
 - Cooper, G.R.J., 2004, A semi-Automatic procedure for the interpretation of geophysical data, *Exploration Geophysics*, 35 (3), 180-185.
 - Florio, G. and Fedi, M., 2006, Euler deconvolution of vertical profiles of potential field data, 76th SEG meeting, New Orleans, Louisiana, USA, Expanded Abstracts, 958-962.
 - Fairhead, J.D., Salem, A., Williams, S.E., Bourne, A.J., Green, C.M. and Samson, E.M., 2008a, Mapping the structure and depth of sedimentary basins using the magnetic tilt-depth method, 70th EAGE meeting, Rome, Italy, Expanded Abstracts.
 - Fairhead, J.D., Salem, A., Williams, S.E. and Samson, E.M., 2008b, Magnetic interpretation made easy, The tilt-depth-dip-K method, 78th SEG meeting, Las Vegas, Nevada, USA, Expanded Abstracts.
 - Fairhead, J.D. and Williams, S.E., 2006, Evaluating normalized magnetic derivatives for structural mapping, 76th SEG meeting, New Orleans, Louisiana, USA, Expanded Abstracts.
 - Hartman, R.R., Teskey, D.J. and Friedberg, J.L., 1971, A system for rapid digital aeromagnetic interpretation, *Geophysics*, 36, 891-918.
 - Hood, P., 1965, Gradient measurements in aeromagnetic surveying, *Geophysics*, 30, 891-902.
 - Miller, H.G. and Singh, V., 1994, Potential field tilt- a new concept for location of potential field sources, *Journal of Applied Geophysics*, 32, 213-217.
 - Reid, A.B., Allsop, J.M., Granser, H., Millet, A.J. and Somerton, I.W., 1990, Magnetic interpretation in three dimensions using Euler deconvolution, *Geophysics*, 55, 80-91.
 - Sailhac, P. and Gibert, D., 2003, Identification of sources of potential fields with the continuous wavelet transform, two dimensional wavelets and multi polar approximations, *Journal of Geophysical Research*, 108, 22-62.
 - Salem, A., Williams, S., Fairhead, J.D. and Ravat, D., 2007, Tilt-depth method, a simple depth estimation method using first-order magnetic derivatives, *The Leading Edge*, 1502-1505.
 - Salem, A., Williams, S., Samson, E., Fairhead, D., Smith, R., Ravat, D. and Blakely, R.J., 2010, Sedimentary basins reconnaissance using the magnetic tilt-depth method, *Exploration Geophysics*, 41, 198-209.
 - Salem, A., Ravat, D., Smith, R. and Ushijima, K., 2005, interpretation of magnetic data using the Enhanced local wave number approach, *Geophysics*, 70, L7-L14.
 - Thomson, D.T., 1982, Euldpdh, a new technique for making computer assisted depth estimates from magnetic data, *Geophysics*, 47 (1), 31-37.
 - Thurston, J.B. and Smith, R.S. 1997, Automatic conversion of magnetic data to depth, dip, and susceptibility contrast using the SPI (TM) method, *Geophysics*, 62, 807-813.
 - Thurston, J. and Smith, R., 2007, Source location using total-field homogeneity, introducing the SLUTH method for depth estimation, *The Leading Edge*, 1272-1276.



Shahrood University of Technology

JOURNAL OF RESEARCH ON APPLIED GEOPHYSICS

(JRAG)

2015, VOL 1, NO 1



Using Gradient Ratio Method in Interpretation of 2-D Magnetic Dyke Anomalies

Kamal Alamdar^{1*} and Mostafa Golabi²

1- Assistant Professor, Department of Mining and Metallurgical Engineering, Yazd University, Yazd, Iran

2- M.Sc. Student, Department of Mining and Metallurgical Engineering, Yazd University, Yazd, Iran

Received: 18 October 2015; Accepted: 11 February 2016

Corresponding author: kamal.alamdar@gmail.com

Keywords	Extended Abstract
Depth	Summary
Model -Dependent Gradient Method	In the 1970s, with the appearance of digital systems and the collection of large amounts of gravity and magnetic field data, a new era was started in developing interpretation techniques of potential field geophysical data. New automated inverse techniques were widely adopted for interpretation of gravity and magnetic profile data based on two-dimensional (2-D) models such as the thin sheet, thick dike, geological contact, polygonal bodies and dike. The tilt angle (TA) and its horizontal derivative are termed alternatively in the literature as local phase and local wavenumber, respectively, as these methods are closely associated with analytical signal definition of a potential field anomaly. In this paper, we use derivative ratio method to estimate the depth and location of magnetic dyke anomalies. This method has been applied on synthetic magnetic data as well on real magnetic data from a mining region in Sirjan area.
Fault	
Dyke	

Introduction

Tilt angle, a relatively newly defined attribute of potential field data, is becoming increasingly popular among geoscientists for interpreting potential field, especially, the magnetic data. The power of the tilt angle in delineating body edges and, especially, the linear structures from a high resolution magnetic anomaly image in the tilt angle domain has been demonstrated by Thurston and Smith (1997), Salem et al. (2007, 2005). They have explained that high resolution attained in a tilt angle image is mainly due to a high dynamic gain attributed by the natural property of the arctangent function, the value of which ranges between -90° and 90° .

A buried fault is a common geological structure of interest in many geophysical applications. Geophysical signature of the fault is often subtle in total magnetic intensity images, where TA, which is a derivative field, should be an important tool for interpretation. Both normal and reverse magnetic anomaly of a fault can be modeled using a dike model. One of the most important specifications of such models is the variation of the vertical and horizontal derivatives directly on top of the body. Estimation of the depth and horizontal location of the anomaly play an important role in magnetic data interpretation. There are varieties of methods which can be used for definition of anomalies. Many of these methods are model-dependent, namely the estimation equation is dependent on individual geometrical models.

Methodology and Approaches

Dykes are thin sheet-like intrusions of igneous rock that can have lateral extents of up to several 100 km. They are often strongly magnetic, and as a result, are clearly visible in images of aeromagnetic data. Depending on the situation, detailed modeling may be necessary to determine their locations and dips, and this can be time-consuming. A semi-automatic method for the interpretation of magnetic dyke anomalies, based on ratios of the gradients of the anomaly, is presented in this paper. The method is applicable to dykes with dips of multiples of 45 degrees.

Results and Conclusions

1. The ratio between vertical and horizontal gradients of the magnetic anomaly related to dykes can be used to estimate depth and location of the subsurface bodies.
2. The problem of noise enhancement in the computation of the gradients can be solved via two approaches:
 - a. acquiring the vertical and horizontal gradients in the field by magnetic gradiometer or
 - b. calculating the vertical derivatives (amplifying noise more) by means of Hilbert transform. The Hilbert transform is more stable than fast Fourier transform (FFT) and the results are more consistent.
3. The method is applicable to thin dykes with dips of multiples of 45 degrees. Obviously, if any of the assumptions inherent in the method are invalid (i.e. the anomalies are not from thin dykes, the dip angle is not a multiple of 45

JRAG, 2015, VOL 1, NO 1.

degrees or the magnetization vector is not vertical) then the results will be incorrect.

4. The sensitivity of the method to the dip of the dykes and to the departure of the geomagnetic field from the vertical has been investigated.

5. The method has been tested on synthetic magnetic data and on real magnetic data from Sirjan mining region.
